

В. С. Асланов

## ОПРЕДЕЛЕНИЕ АМПЛИТУДЫ ПРОСТРАНСТВЕННЫХ КОЛЕБАНИЙ БАЛЛИСТИЧЕСКОГО АППАРАТА С МАЛОЙ АСИММЕТРИЕЙ ПРИ СПУСКЕ В АТМОСФЕРЕ

Рассматривается пространственное неуправляемое движение относительно центра масс КА с малой динамической и геометрической асимметрией при спуске в атмосфере. Уравнения движения КА вокруг центра масс приведены к форме, удобной для решения методом усреднения. Получены приближенное аналитическое решение уравнения пространственного невозмущенного движения, а также осредненные уравнения возмущенного движения, применение которых позволяет без введения ограничений на величину пространственного угла атаки и начальную угловую скорость в  $\sim 3$  раза сократить затраты машинного времени по сравнению с численным интегрированием полных уравнений движения.

В [1–3] изложены методы определения вращательного движения осесимметричных аппаратов. В линейной постановке при наличии малой асимметрии задача о пространственных колебаниях спускаемого аппарата была рассмотрена в работах [4, 5]. В [6] подобная задача решена при допущении, что КА закручен относительно продольной оси и имеет сферическую форму.

Рассматривается пространственное возмущение вращения КА при наличии малой асимметрии при спуске в атмосфере планеты. На компоненты начальной угловой скорости и на величину пространственного угла атаки ограничения не накладываются. Получены осредненные уравнения, применение которых позволяет моделировать все возможные типы движения около центра масс КА с малой асимметрией. При этом обеспечивается выигрыш в затратах машинного времени в  $\sim 3$  раза по сравнению с численным интегрированием исходных уравнений.

1. Введем связанную барицентрическую систему координат  $OXYZ$ , расположенную таким образом, что центробежный момент инерции  $I_{yz}=0$ , а ось  $OX$  направим параллельно оси симметрии формы аппарата. Связь между скоростной системой координат  $Ox_a y_a z_a$  осуществляется при помощи углов Эйлера:  $\alpha$  — пространственный угол атаки (угол нутации),  $\varphi$  — угол собственного вращения,  $\psi$  — угол прецессии.

Уравнения вращательного аппарата имеет вид:

$$I_x \dot{\omega}_x - I_{xy} \dot{\omega}_y - I_{xz} \dot{\omega}_z = M_x - (I_z - I_y) \omega_y \omega_z - \omega_x (I_{xy} \omega_z - I_{xz} \omega_y), \quad (1)$$

$$-I_{xy} \dot{\omega}_x + I_y \dot{\omega}_y = M_y - (I_x - I_z) \omega_x \omega_z - I_{xz} (\omega_x^2 - \omega_z^2) + I_{xy} \omega_y \omega_z,$$

$$-I_{xz} \dot{\omega}_x + I_z \dot{\omega}_z = M_z - (I_y - I_x) \omega_x \omega_y + I_{xy} (\omega_x^2 - \omega_y^2) + I_{xz} \omega_y \omega_z,$$

где  $M_x, M_y, M_z$  — проекции суммарного аэродинамического момента на оси системы  $OXYZ$ ;  $\omega_x, \omega_y, \omega_z$  — проекции угловой скорости на те же оси;  $I_x, I_y, I_z, I_{xy}, I_{xz}$  — главные центральные и центробежные моменты инерции.

Кинематические уравнения записываются следующим образом:

$$\begin{aligned}\omega_x &= \dot{\psi} \cos \alpha + \dot{\varphi}, \\ \omega_y &= \dot{\psi} \sin \alpha \sin \varphi + (\dot{\alpha} + \lambda) \cos \varphi, \\ \omega_z &= \dot{\psi} \sin \alpha \cos \varphi - (\dot{\alpha} + \lambda) \sin \varphi,\end{aligned}\quad (2)$$

где  $\lambda = Y/mV$ ,  $Y$  — подъемная сила,  $m$  — масса аппарата,  $V$  — скорость полета.

Малую весовую и аэродинамическую асимметрию будем определять параметрами:  $\Delta_i = (I_z - I_y)/I$ ;  $\bar{I}_{xy} = I_{xy}/I_y$ ,  $\bar{I}_{xz} = I_{xz}/I_y$  — безразмерные центробежные моменты инерции;  $(\bar{y}_\tau^2 + \bar{z}_\tau^2)^{1/2}$  — относительное смещение центра масс КА от его оси симметрии;  $m_{x_0}$ ,  $m_{y_0}$ ,  $m_{z_0}$  — коэффициенты возмущающего аэродинамического момента  $M_0 = \{M_{x_0}, M_{y_0}, M_{z_0}\}$ , возникающего, например, при наличии отклонений поверхности аппарата от номинальной формы в сочетании с поперечным смещением центра масс от оси симметрии [4]. Припишем малой асимметрии и демпфирующему моменту  $M^0$  порядок малости  $\varepsilon$ .

Уравнения движения центра масс КА запишем в виде

$$\begin{aligned}\dot{V} &= -c_x(\bar{\alpha}) \frac{qS}{m} - g_\tau \sin \theta, \\ \dot{\theta} &= -\frac{g_\tau \cos \theta}{V} \left( 1 - \frac{V^2}{g_\tau R_p} \right), \quad \dot{H} = V \sin \theta.\end{aligned}\quad (3)$$

Здесь  $\theta$ ,  $H$  — соответственно угол наклона траектории к горизонту и высота,  $g_\tau$  — ускорение силы тяжести,  $R_p$  — расстояние до притягивающего центра,  $c_x$  — коэффициент сопротивления,  $q$  — скоростной напор,  $S$  — площадь миделевого сечения,  $\bar{\alpha}$  — среднее за период колебания значение угла атаки.

На промежутке времени, периоду полного оборота продольной оси аппарата по конусу прецессии, значение коэффициента  $c_y(\alpha)$  в среднем обращается в нуль, а  $c_x(\alpha) = c_x(\bar{\alpha})$ . Поэтому для баллистического аппарата подъемная сила  $Y$  не входит в уравнения движения центра масс. Сила  $Y$  оказывает влияние на движение аппарата вокруг центра масс. Данный способ впервые был применен В. А. Ярошевским и в настоящее время общепринят.

Будем считать, что траекторные параметры  $V$ ,  $\theta$  и  $H$  изменяются медленно, и приписывать правым частям уравнений (3) параметр малости  $\varepsilon$ .

Разделим возмущенное вращательное движение аппарата на «быстрое» и «медленное». С помощью замены переменных

$$R = I_x \omega_x / I_y, \quad \dot{\alpha} = \omega_y \cos \varphi - \omega_z \sin \varphi, \quad (4)$$

$$G = R \cos \alpha + (\omega_y \sin \varphi + \omega_z \cos \varphi) \sin \alpha,$$

пренебрегая величинами порядка  $\varepsilon^2$  и выше, приведем исходные уравнения систем (1) и (2) к одному уравнению, описывающему «быстрое» квазипериодическое движение угла атаки  $\alpha$ , и уравнениям для медленно меняющихся параметров:

$$\begin{aligned}\ddot{\alpha} + \frac{(G - R \cos \alpha)(R - G \cos \alpha)}{\sin^3 \alpha} - M_{\sigma p}(\alpha, z) &= \Delta_i (F_\alpha + M_{\alpha p} \sin^2 \varphi) + \\ &+ M_{\alpha \tau} + M_{\alpha^0} + M_{\alpha 0} + K_\alpha = \varepsilon \Phi_\alpha(\alpha, \dot{\alpha}, \varphi, z), \\ \dot{R} &= \Delta_i F_R + M_{RN} + M_R^0 + M_{R0} + K_R = \varepsilon \Phi_R(\alpha, \dot{\alpha}, \varphi, z), \\ \dot{G} &= \Delta_i F_G + M_{GN} + M_{G\tau} + M_G^0 + M_{G0} + K_G + \lambda h_1 = \varepsilon \Phi_G(\alpha, \dot{\alpha}, \varphi, z), \\ \dot{\varphi} &= \frac{R}{I_x} - \frac{(G - R \cos \alpha) \cos \alpha}{\sin^2 \alpha}, \quad \dot{\psi} = \frac{G - R \cos \alpha}{\sin^2 \alpha},\end{aligned}\quad (5)$$

где  $M_{\alpha p} = (M_p - x_T N) / I_y$  — восстанавливающий момент,  $N$  — нормальная сила,  $M_p$  — продольный аэродинамический момент, вычисленный относительно передней кромки КА;  $x_T$  — смещение центра масс от передней кромки;

$$\begin{aligned} M_{\alpha \tau} &= \tau (z_T \cos \varphi + y_T \sin \varphi) / I_y, \quad M_{G\tau} = \tau (z_T \sin \varphi - y_T \cos \varphi) \sin \alpha / I_y, \\ M_{RN} &= N (y_T \cos \varphi - z_T \sin \varphi) / I_y, \quad M_{GN} = N (y_T \cos \varphi - z_T \sin \varphi) \cos \alpha / I_y, \\ M_{\alpha}^{\partial} &= (M_y^{\partial} \cos \varphi - M_z^{\partial} \sin \varphi) / I_y + Y^{\alpha} \cdot \dot{\alpha} / (mV), \quad M_R^{\partial} = M_x^{\partial} / I_y, \\ M_G^{\partial} &= [M_x^{\partial} \cos \alpha + (M_y^{\partial} \sin \varphi + M_z^{\partial} \cos \varphi) \sin \alpha] / I_y, \\ M_{\alpha 0} &= (M_{y0} \cos \varphi - M_{z0} \sin \varphi) / I_y, \\ M_{R0} &= M_{x0} / I_y, \quad M_{G0} = [M_{x0} \cos \alpha + (M_{y0} \sin \varphi + M_{z0} \cos \varphi) \sin \alpha] / I_y, \\ K_{\alpha} &= \bar{I}_{xy} (\omega_y h - \omega_x^2 \sin \varphi) + \bar{I}_{xz} (\omega_z h - \omega_x^2 \cos \varphi), \quad K_R = \bar{I}_{xy} (M_{\alpha p} \cos \varphi - R \omega_z) - \\ &\quad - I_{xy} (M_{\alpha p} \sin \varphi - R \omega_y), \quad K_G = K_R \cos \alpha + [\bar{I}_{xy} (\omega_x^2 \cos \varphi - \\ &\quad - \dot{\alpha} \omega_y) - \bar{I}_{xz} (\omega_x^2 \sin \varphi + \dot{\alpha} \omega_z)] \sin \alpha, \\ F_{\alpha} &= [h (\bar{I}_x \sin^2 \varphi + 2 \cos^2 \varphi - 1) + (\bar{I}_x - 2) \dot{\alpha} \sin \varphi \cos \varphi] R / I_x; \\ F_R &= 0,5 (\dot{\alpha}^2 - h^2) \sin 2\varphi - \dot{\alpha} h \cos 2\varphi, \quad F_G = -\dot{\alpha} R \sin \alpha \cos^2 \varphi - \\ &\quad - 0,5 (h h_1 - M_{\alpha p} \sin \alpha - \dot{\alpha}^2 \cos \alpha) \sin 2\varphi + \dot{\alpha} \sin \alpha (h \sin 2\varphi + \dot{\alpha} \cos 2\varphi). \end{aligned}$$

Здесь  $h = (G - R \cos \alpha) / \sin \alpha$ ,  $h_1 = (R - G \cos \alpha) / \sin \alpha$ ,  $\bar{I}_x = I_x / I_y$ ,  $\omega_x = R / \bar{I}_x$ ,  $\omega_y = h \sin \varphi + \dot{\alpha} \cos \varphi$ ,  $\omega_z = h \cos \varphi - \dot{\alpha} \sin \varphi$ ,  $z = \{R, G, V, \theta, H, \dots\}$  — вектор медленно меняющихся функций.

Таким образом, полные уравнения возмущенного движения (1) — (3) КА с малой асимметрией можно записать в следующем виде:

$$\begin{aligned} \ddot{\alpha} + F(\alpha, z) &= \varepsilon \Phi_{\alpha}(\alpha, \dot{\alpha}, \varphi, z), \\ \dot{z} &= \varepsilon \Phi_z(\alpha, \dot{\alpha}, \varphi, z), \quad \dot{\varphi} = \Phi_{\varphi}(\alpha, z). \end{aligned} \quad (6)$$

Данные уравнения описывают квазиконсервативное движение колебательной системы с одной степенью свободы.

2. Невозмущенным будем называть такое движение, которое имеет место при  $\varepsilon = 0$ . Система (5) сводится к одному уравнению

$$\ddot{\alpha} + \frac{(G - R \cos \alpha)(R - G \cos \alpha)}{\sin^3 \alpha} - M_{xp}(\alpha) = 0. \quad (7)$$

При известном решении этого уравнения последние два кинематических уравнения из (5) интегрируются в квадратурах.

Рассмотрим невозмущенное движение КА малого удлинения. Приведенные коэффициенты продольного момента и нормальной силы ( $\bar{m}_p = m_p / \sin \alpha$ ,  $\bar{c}_N = c_N / \sin \alpha$ ) представим в виде

$$m_p = \sum_{i=0}^n a_{mi} \cos i\alpha, \quad \bar{c}_N = \sum_{i=0}^n a_{ni} \cos i\alpha. \quad (8)$$

Пусть выполняются условия

$$|a_{mi}/a_{m0}| = 0(\varepsilon), \quad |a_{ni}/a_{n0}| = 0(\varepsilon) \quad (i=1, 2, \dots, n). \quad (9)$$

Перепишем уравнение (7) с учетом соотношений (8) в виде

$$\ddot{\alpha} + \frac{(G - R \cos \alpha)(R - G \cos \alpha)}{\sin^3 \alpha} + g_0 \sin \alpha = -\sin \alpha \sum_{i=1}^n g_i \cos i\alpha, \quad (10)$$

где  $g_i = -(a_{mi} - \bar{x}_T a_{ni}) q S l / J_y$ ,  $g_0 > 0$ ,  $l$  — характерный размер КА

Приближенное решение уравнения (10) можно найти методом Ван дер Поля, в качестве порождающего решения выбрав решение для сферы ( $a_{mi}=a_{ni}=0, i=1, 2, \dots, n$ ) [3]:

$$\cos \alpha = A \operatorname{cn}^2 \left[ K \left( \frac{2y}{\pi} + 1 \right), k \right] + x, \quad (11)$$

где  $x = \cos \alpha_{\max}$ ,  $y = \omega(t - t_0)$ ,  $\omega = \pi\beta/2K$ ,  $\beta = \sqrt{g_0\eta}$ ,  $k = \sqrt{A/2\eta}$ ,  $K(k)$  — полный эллиптический интеграл I рода,

$$\eta = \sqrt{1 - 2(ax - b)/(1 - x^2) + [(a - bx)/(1 - x^2)]^2}, \\ A = \eta - x - (a - bx)/(1 - x^2), \quad a = (R^2 + G^2)/4g_0, \quad b = RG/2g_0.$$

Решение уравнения (10) будем искать в виде (11), рассматривая  $x$  и  $y$  как функции «медленного» времени. Запишем уравнения Ван дер Поля в виде

$$\dot{x} = \frac{1}{2\pi\Delta} \int_0^{2\pi} \alpha_y \sin \alpha \left( \sum_{i=1}^n g_i \cos i\alpha \right) dy, \quad (12)$$

$$\dot{y} = \omega - \frac{1}{2\pi\Delta} \int_0^{2\pi} \alpha_x \sin \alpha \left( \sum_{i=1}^n g_i \cos i\alpha \right) dy, \quad (13)$$

где  $\Delta(x) = (\alpha_x \alpha_{yy} - \alpha_y \alpha_{xy}) \omega - \omega_x \alpha_y^2 = 4KAk'^2\beta/\pi(1 - x^2)$ .

Подынтегральная функция в уравнении (12), если поставить в нее решение (11), является нечетной периодической функцией переменной  $y$ , поэтому интеграл от нее равен нулю.

При вычислении определенного интеграла в уравнении (13) воспользуемся упрощенной формулой решения (11):

$$\cos \alpha = B(1 - \cos \xi)(m - \cos \xi)^2 + x, \quad (14)$$

где  $B = Ap^2/2$ ,  $m = (2 - p)/p$ ,  $p = 2(1 - \sqrt{k'})/(1 + \sqrt{k'})$ ,  $\xi = 2y$ ,  $k' = \sqrt{1 - k^2}$ .

Точность данной аппроксимации уменьшается с увеличением модуля  $k$ . Например, при  $k^2 = 0,5$  абсолютная погрешность не превышает 0,0005, а при  $k^2 = 0,9$  погрешность меньше 0,03. Для плоского случая движения, при котором  $k^2 = (1 - x)/2$  имеет максимальное значение, легко оценить углы атаки, соответствующие указанным значениям модуля. В первом случае  $\alpha_{\max} = 90^\circ$ , а во втором  $\alpha_{\max} = 143^\circ$ .

Производная  $\alpha_x$  в уравнении (13) определяется формулой

$$\alpha_x = - \frac{1}{\sin \alpha} \sum_{v=0}^3 d_v \cos^v \xi, \quad (15)$$

$$\text{где } d_0 = \sum_{j=0}^3 2^{-j} l_j, \quad d_1 = \sum_{j=0}^3 2^{-j} j l_j, \quad d_2 = l_2/4 - 3l_3/8, \quad d_3 = l_3/8,$$

$$l_0 = 1 + A_x, \quad l_1 = -(2A_x p + 2A p_x + A_x),$$

$$l_2 = A_x p^2 + 2A p p_x + 2A_x p + 2A p_x, \quad l_3 = -(A_x p^2 + 2A p p_x).$$

Производные  $A_x$  и  $p_x$  можно получить путем дифференцирования соответствующих выражений из (11) и (14).

Заменим тригонометрический полином в (13) степенным многочленом

$$\sum_{i=1}^n g_i \cos i\alpha = \sum_{i=1}^n c_i \cos^i \alpha \text{ и подставим в это уравнение решение (14). В ре-}$$

зультате получим

$$\dot{y} = \omega + \frac{\delta_n}{\Delta}, \quad \delta_n = \sum_{i=1}^n I_i. \quad (16)$$

Здесь

$$I_i = \frac{c_i}{4\pi} \int [B(1 - \cos \xi) (m - \cos \xi)^2 + x]^i \sum_{v=0}^3 d_v \cos^v \xi d\xi = \\ = c_i \sum_{j=0}^{[3(i+1)/2]} k_{2j} \sum_{v=2j-3i}^3 d_v b_{i,2j-v}, \quad (17)$$

где [...] означает целую часть цикла,  $k_{2j} = (2j-1)!! / (2j)!!$ ,  $k_0 = 1$ ;

$$b_{ij} = (-1)^j \sum_{q=1}^{[i/(j+2)/3]} c_i^q x^{i-q} B^q \sum_{h=j-2q}^q c_q^h c_{2q}^{j-h} m^{2q-j+h}, \quad (18)$$

$c_j^i$  — биномиальный коэффициент.

Интегрируя уравнение (16), получим

$$y = \omega_1 (t - t_0), \quad \omega_1 = \omega (1 + \delta_n / \omega \Delta), \quad (19)$$

где

$$\delta_n = \sum_{i=1}^n c_i \sum_{j=0}^{[3(i+1)/2]} k_{2j} \sum_{v=2j-3i}^3 d_v b_{i,2j-v}. \quad (20)$$

Таким образом, невозмущенное пространственное движение осесимметричного аппарата малого удлинения в атмосфере отличается от невозмущенного движения сферы частотой колебания угла атаки. Приближенное решение уравнения (10) имеет вид

$$\cos \alpha = A \operatorname{cn}^2 [\beta_1 (t - t_0) + K, k] + x, \quad (21)$$

где

$$\beta_1 = \beta (1 + \delta_n / \omega \Delta).$$

Результаты численных расчетов показали, что для тел малого удлинения, для которых  $\max |a_{ji}| / |a_{j0}| < 0,3$  ( $j = m, n, i = 1, \dots, n$ ), погрешность приближенного решения (21) не превышает 2%. Весьма существенно то, что точность решения (21) мало зависит от величины скоростного напора  $q$ .

3. В общем случае уравнения возмущенного движения КА с малой асимметрией помимо  $\alpha$  содержат еще и угол собственного вращения  $\varphi$ . Поэтому при известном порождающем решении (21) необходимо определить следующую функцию:

$$\varphi(t) - \varphi_0 = \int_{t_0}^t \left[ \frac{R}{I_x} - \frac{(G - R \cos \alpha) \cos \alpha}{\sin^2 \alpha} \right] dt. \quad (22)$$

Если подставить решение (21) в подынтегральную функцию, то интеграл (22) можно выразить через неполные и полные эллиптические интегралы III рода и представить следующим образом:

$$\varphi - \varphi_0 = R \left( \frac{I_x - I_y}{I_x} \right) (t - t_0) + \frac{1}{2A\beta_1} [n_1 (\tilde{\Pi}_1 - \Pi) (R - G) - n_2 (\tilde{\Pi}_2 - \Pi_2) (R + G)]. \quad (23)$$

где  $\tilde{\Pi}_1 = \Pi(\psi, n_1, k)$ ,  $\tilde{\Pi}_2 = \Pi(\psi, n_2, k)$ ,  $\Pi_1 = \Pi(n_1, k)$ ,  $\Pi_2 = \Pi(n_2, k)$ ,  $n_1 = A / (1 - A - x)$ ,  $n_2 = -A / (1 + A + x)$ ,  $\psi = \operatorname{am} [\beta_1 (t - t_0) + K, k]$ .

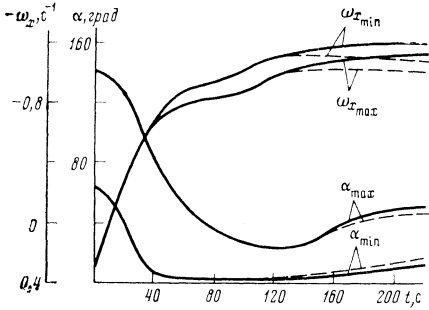


Рис. 1. Зависимость углов атаки и угловой скорости от времени спуска для нерезонансного случая

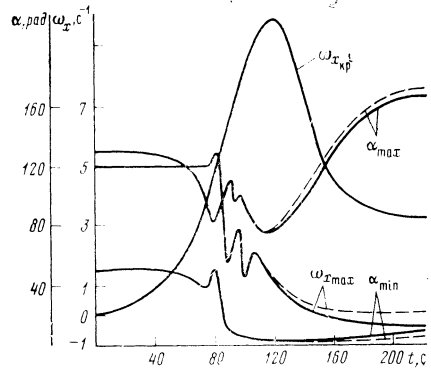


Рис. 2. Зависимость углов атаки и угловой скорости для резонансного случая

Для квазиконсервативной системы (5), выбрав в качестве «медленной» переменной амплитуду колебания  $x = \cos \alpha_{\max}$ , представим осредненные уравнения в форме [7]

$$\dot{x} = -\frac{\varepsilon \sqrt{1-x^2}}{F(x, z)} \left\{ \frac{1}{T} \int_t^{t+T} \left[ \Phi_\alpha(\alpha, \dot{\alpha}, \varphi, z) \dot{\alpha} + \frac{\partial W(u, z)}{\partial R} \Phi_R(\alpha, \dot{\alpha}, \varphi, z) + \frac{\partial W(u, z)}{\partial G} \Phi_G(\alpha, \dot{\alpha}, \varphi, z) + \frac{\partial W(u, z)}{\partial q} \Phi_q(z) \right] dt - \frac{\partial W(x, z)}{\partial R} \bar{\Phi}_R(z) - \frac{\partial W(x, z)}{\partial G} \bar{\Phi}_G(z) - \frac{\partial W(x, z)}{\partial q} \bar{\Phi}_q(z) \right\}, \quad (24)$$

$$R = \frac{\varepsilon}{T} \int_t^{t+T} \Phi_R(\alpha, \dot{\alpha}, \varphi, z) dt = \varepsilon \bar{\Phi}_R(z), \quad G = \frac{\varepsilon}{T} \int_t^{t+T} \Phi_G(\alpha, \dot{\alpha}, \varphi, z) dt = \varepsilon \bar{\Phi}_G(z),$$

где  $u = \cos \alpha$ ,  $T = 2K/\beta_1$  — период колебания угла атаки,

$$\Phi_q(z) = \rho V \dot{V} + \frac{V^2}{2} \frac{\partial \rho}{\partial H} \dot{H}, \quad \bar{c}_i = c_i/q \quad (i=0, 1, \dots, n),$$

$$W(u, z) = \frac{R^2 + G^2 - 2RGu}{2(1-u^2)} - q \sum_{i=0}^n \frac{\bar{c}_i}{i+1} u^{i+1},$$

$$F(x, z) = \frac{(G-Rx)(R-Gx)}{(1-x^2)^{3/2}} + q \sqrt{1-x^2} \sum_{i=0}^n \bar{c}_i x^i.$$

Минимальный угол атаки определяется из решения (11) по формуле  $\cos \alpha_{\min} = A + x$ .

Функция (23), входящая в подынтегральные выражения уравнений (24), зависит от неполных эллиптических интегралов III рода  $\Pi(\psi, n, k)$ , которые вычисляются по громоздким рекуррентным соотношениям. Предлагается на каждом шаге интегрирования вычислять функцию  $\varphi(t)$  по экономичной схеме, основанной на методе Симпсона.

Шаг интегрирования осредненных уравнений (24) связан с величиной периода колебания  $T$ . Для обеспечения непрерывности вычисления функции  $\varphi(t)$  при интегрировании методом Рунге — Кутты 4-го порядка шаг выбирается равным удвоенному периоду колебаний. В связи с этим расчет

движения КА вокруг центра масс осуществляется комбинированным способом: при  $T > h^*/2$ , где  $h^*$  — наибольшая предельная величина шага интегрирования, расчет ведется по исходным уравнениям (5); при  $T \leq h^*/2$  — по уравнениям (24). Осредненные уравнения движения применимы на участках высокочастотных колебаний, которые являются наиболее трудоемкими в вычислительном смысле.

Как видно из рис. 1 и 2, расчеты по осредненным уравнениям дают удовлетворительное совпадение с результатами численного интегрирования исходных уравнений (сплошная линия).

Применение комбинированного метода, основанного на совместном использовании результатов численного интегрирования исходных и осредненных уравнений, позволяет в  $\sim 3$  раза снизить затраты машинного времени счета по сравнению с численным интегрированием только исходных уравнений.

Характер изменения функций  $\Phi_R$  и  $\Phi_G$  весьма близок. Кроме того, эти функции входят линейно в подынтегральную функцию первого уравнения. Более значительный выигрыш во времени счета получается, если вычисления всех определенных интегралов уравнения (24) проводятся одновременно в одних и тех же точках отрезка  $[t, t+T]$ .

Дата поступления  
22 марта 1978 г.

#### Литература

1. Г. Е. Кузмак. Динамика неуправляемого движения летательных аппаратов при входе в атмосферу. М., «Наука», 1970.
2. В. В. Войков, В. А. Ярошевский. Уч. зап. ЦАГИ, 1, № 3, 45, 1970.
3. В. С. Асланов. Космич. исслед., 14, № 4, 491, 1976.
4. В. А. Ярошевский. Тр. ЦАГИ, вып. 1322, 1974.
5. А. А. Шилов, А. Ф. Васильев. Тр. ЦАГИ, вып. 1345, 1971.
6. В. А. Гробов, А. В. Коцюба. Прикладная механика, 8, № 12, 71, 1972.
7. В. М. Волосов. Ж. вычисл. матем. и матем. физ., 3, № 1, 3, 1963.